

УДК 622.232.72

МАТЕМАТИЧЕСКАЯ МОДЕЛЬ ДВУХДВИГАТЕЛЬНОГО ПРИВОДА ИСПОЛНИТЕЛЬНЫХ ОРГАНОВ ОЧИСТНОГО КОМБАЙНА

Гуляев В.Г. докт. тех. наук, проф.,

Сивокобыленко В.Ф. докт. тех. наук, проф., Жуков К.В. аспирант,

Донецкий государственный технический университет

Разработана математическая модель двухдвигательного привода исполнительных органов очистного комбайна

The mathematical model of a two-motor drive of the working tools of a cutting shearer is developed.

На современном этапе и в будущем целесообразно применение лучших серийных очистных комбайнов (ОК) с повышенными показателями надежности и адаптивности [1]. Одним из основных способов повышения надежности ОК является снижение их динамической нагруженности и, прежде всего, электромеханической подсистемы привода исполнительных органов (ППО). Для выявления закономерностей формирования динамической нагруженности в ППО наряду с экспериментальными методами применяется имитационное математическое моделирование. Сотрудниками кафедры «Горные машины» ДонГТУ разработаны адекватные математические модели (ММ) ОК, в основном для исследования «установившихся» рабочих режимов на основе линеаризованных динамических моделей электродвигателя и моделей трансмиссии с линейными характеристиками [2,3].

Для приводных двигателей ОК по ГОСТ 16565-71 за номинальный режим работы принят повторно-кратковременный с частыми пусками (S4 условно) с ПВ 60%, с числом включений до 120 в час при коэффициенте инерции до 2,5. В структуре эксплуатационных спектров нагруженности комбайнов большое значение имеют переходные процессы – при разрушении резцами крепких включений, пусковые режимы и опрокиды двигателей, сопровождающиеся формированием высоких динамических нагрузок в ППО. Поэтому актуальна разработка соответствующей адекватной в главном ММ для изучения динамических процессов в ППО. В данной работе рассматривается формирование имитационной ММ ППО для двухдвигатель-

ного комбайна с механически связанными (или не связанными) двигателями.

ММ электромеханической системы ППО ОК соответствует расчетной схеме с пятью сосредоточенными массами (рис. 1).

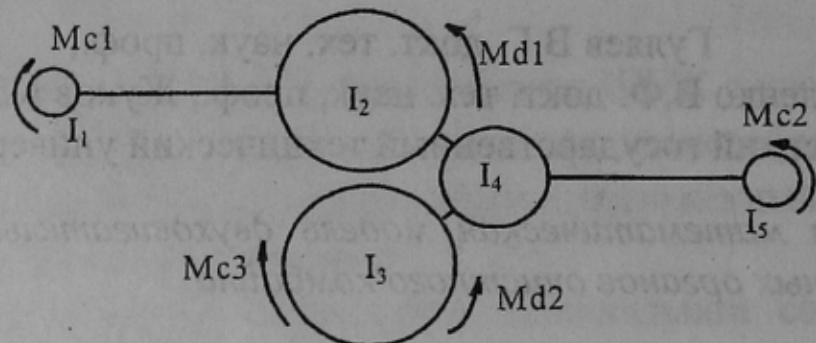


Рис. 1 Расчетная схема ППО двухдвигательного комбайна

На рис. 1 обозначены:

I_1, I_5 - приведенные к двигателю моменты инерции исполнительных органов (ИО);

I_2, I_3 – моменты инерции роторов электродвигателей (ЭД) и части трансмиссии;

I_4 – момент инерции элементов жесткой связки между ЭД.

Сосредоточенные массы соединены упруго - демпфирующими кусочно-линейными связями (рис. 2), что позволяет учитывать возможность «раскрытия» зазоров между элементами трансмиссии.

На рис. 2 приняты следующие обозначения:

k, n – индексы масс, соответственно, от которой и к которой передается энергия, $k, n = 1 \dots 5$;

φ_k, φ_n – угловые координаты масс k и n ;

M_{kn} – упруго-демпфирующий момент на участке kn :

$$M_{kn} = \begin{cases} C_{kn}(\varphi_k - \varphi_n) + \beta_{kn}(\omega_k - \omega_n), & \text{если } (\varphi_k - \varphi_n) > 0; \\ 0, & \text{если } 0 \geq (\varphi_k - \varphi_n) \geq -\delta_{kn}; \\ C_{kn}(\varphi_k - \varphi_n + \delta_{kn}) + \beta_{kn}(\omega_k - \omega_n), & \text{если } -\delta_{kn} > (\varphi_k - \varphi_n); \end{cases} \quad (1)$$

δ_{kn} – приведенная величина зазора на участке kn ;

ω_k, ω_n – угловые скорости масс k и n ;

C_{kn} – коэффициент жесткости участка kn ;

β_{kn} – коэффициент демпфирования участка kn .

Необходимо отметить, что приравнивание нулю C_{24} и β_{24} позволяет рассматривать режимы работы ОК при механически не связанных двигателях.

Формирование нагрузок в ППО ОК происходит в замкнутой системе «ОК – забой» и носит случайный квазистационарный характер. Наибольшее влияние на этот процесс оказывают неравномерность перемещения комбайна, силовая неуравновешенность ИО и сложные автоколебательные процессы в замкнутой системе. С учетом всего этого, моменты сопротивления, приложенные к массам ИО (M_{C1} и M_{C2}) можно представить [2]:

$$M_{Cj} = d_{ij} M_{cp_i} + d_{ij} M_{cp_i}(t - \tau_j) + d_{ij} M_{hi} \sin(\omega_{hi} t + \Psi_{hi}) + d_{ij} M_{bi} \sin(\omega_{bi} t) \quad (2)$$

Здесь d_{ij} – коэффициент, изменяющий режим нагружения;

j – индекс, соответствующий режиму нагружения;

$d_{ij} M_{cp_i}(t - \tau_j)$ – составляющая, необходимая для задания различного темпа нарастания среднего уровня нагрузки;

M_{cp_i} , M_{hi} , M_{bi} – соответственно средний уровень и амплитуды низкочастотных (НЧ) и высокочастотных составляющих нагрузки;

Ψ_{hi} – начальная фаза НЧ составляющих нагрузки;

i – индекс, соответствующий номеру ИО ($i=1,2$).

Момент сопротивления от подсистемы подачи (M_{C3}) можно представить [2]:

$$M_{C3} = (0.05...0.2)(M_{cp_1} + M_{cp_2}) \quad (3)$$

Динамические процессы в двигателях, в т.ч. на нелинейной части механической характеристики, с учетом общеизвестных допущений наиболее полно описывает модель, разработанная на основе фундаментальных исследований Парка-Горева [4]. Особенностью комбайновых электродвигателей с глубокопазными роторами является необходимость учета изменения параметров схемы замещения двигателя в зависимости от скольжения S , что связано с явлением вытеснения токов к поверхности стержней. На основе работы [5] произведена замена контура ротора с параметрами X_r и $R_r(S)$ эквивалентным двойным контуром с параметрами X_{rg} , X_{rh} и R_{rg} , R_{rh} , не зависящими от S . Для учета влияния питающей сети статорные уравнения следует дополнить составляющими падений напряжений, которые в коорди-

натной системе $\alpha, \beta, 0$ с достаточной степенью точности [4] могут быть представлены:

$$\begin{aligned}\Delta U_{S\alpha} &= R_c(i_{S\alpha 1} + i_{S\alpha 2}) - X_c(i_{S\beta 1} + i_{S\beta 2}); \\ \Delta U_{S\beta} &= R_c(i_{S\beta 1} + i_{S\beta 2}) + X_c(i_{S\alpha 1} + i_{S\alpha 2});\end{aligned}\quad (4)$$

R_c и X_c – соответственно активное и реактивное сопротивления питающей сети.

С учетом изложенного выше система дифференциальных уравнений, описывающая динамические процессы в первом двигателе имеет вид:

$$\left\{ \begin{array}{l} \dot{\Psi}_{s\alpha 1} = \omega_c [(a_{s1} - 1)\alpha_{s1}\Psi_{s\alpha 1} + a_{r\beta 1}\alpha_{s1}\Psi_{s\alpha 1} + a_{r\alpha 1}\alpha_{s1}\Psi_{h\alpha 1}] + U_m \cos(\omega_c t) - \Delta U_s \alpha; \\ \dot{\Psi}_{s\beta 1} = \omega_c [a_{s1}\alpha_{r\beta 1}\Psi_{s\alpha 1} + (a_{r\beta 1} - 1)\alpha_{r\beta 1}\Psi_{s\beta 1} + a_{r\alpha 1}\alpha_{r\beta 1}\Psi_{h\beta 1}] - \omega_p \Psi_{s\beta 1} P; \\ \dot{\Psi}_{h\alpha 1} = \omega_c [a_{s1}\alpha_{r\alpha 1}\Psi_{s\alpha 1} + a_{r\beta 1}\alpha_{r\alpha 1}\Psi_{s\alpha 1} + (a_{r\alpha 1} - 1)\alpha_{r\alpha 1}\Psi_{h\alpha 1}] - \omega_p \Psi_{h\beta 1} P; \\ \dot{\Psi}_{s\beta 1} = \omega_c [(a_{s1} - 1)\alpha_{s1}\Psi_{s\beta 1} + a_{r\beta 1}\alpha_{s1}\Psi_{s\beta 1} + a_{r\alpha 1}\alpha_{s1}\Psi_{h\beta 1}] + U_m \sin(\omega_c t) - \Delta U_s \beta; \\ \dot{\Psi}_{s\alpha 1} = \omega_c [a_{s1}\alpha_{r\alpha 1}\Psi_{s\beta 1} + (a_{r\alpha 1} - 1)\alpha_{r\alpha 1}\Psi_{s\alpha 1} + a_{r\beta 1}\alpha_{r\alpha 1}\Psi_{h\alpha 1}] + \omega_p \Psi_{s\alpha 1} P; \\ \dot{\Psi}_{h\beta 1} = \omega_c [a_{s1}\alpha_{r\beta 1}\Psi_{s\beta 1} + a_{r\beta 1}\alpha_{r\beta 1}\Psi_{s\beta 1} + (a_{r\beta 1} - 1)\alpha_{r\beta 1}\Psi_{h\beta 1}] + \omega_p \Psi_{h\beta 1} P; \end{array} \right. \quad (5)$$

Момент двигателя:

$$Md_1 = \frac{3\omega_c P}{2X_{s1}} [\Psi_{s\beta 1}(a_{s1}\Psi_{s\alpha 1} + a_{r\beta 1}\Psi_{s\alpha 1} + a_{r\alpha 1}\Psi_{h\alpha 1}) - \Psi_{s\alpha 1}(a_{s1}\Psi_{s\beta 1} + a_{r\beta 1}\Psi_{s\beta 1} + a_{r\alpha 1}\Psi_{h\beta 1})]; \quad (6)$$

Токи статора в проекции на оси α и β :

$$i_{s\alpha 1} = \omega_c X_{s1}^{-1} (\Psi_{s\alpha 1} - a_{s1}\Psi_{s\alpha 1} - a_{r\beta 1}\Psi_{s\alpha 1} - a_{r\alpha 1}\Psi_{h\alpha 1}); \quad (7)$$

$$i_{s\beta 1} = \omega_c X_{s1}^{-1} (\Psi_{s\beta 1} - a_{s1}\Psi_{s\beta 1} - a_{r\beta 1}\Psi_{s\beta 1} - a_{r\alpha 1}\Psi_{h\beta 1});$$

Коэффициенты системы (5) находятся в зависимости от параметров схемы замещения двигателя:

$$\alpha_{s1} = R_{s1} X_{s1}^{-1}; \quad \alpha_{r\beta 1} = R_{r\beta 1} X_{r\beta 1}^{-1}; \quad \alpha_{r\alpha 1} = R_{r\alpha 1} X_{r\alpha 1}^{-1};$$

$$X_{sr1} = (X_{m1}^{-1} + X_{s1}^{-1} + X_{r\beta 1}^{-1} + X_{r\alpha 1}^{-1})^{-1}; \quad (8)$$

$$a_{s1} = X_{sr1} X_{s1}^{-1}; \quad a_{r\beta 1} = X_{sr1} X_{r\beta 1}^{-1}; \quad a_{r\alpha 1} = X_{sr1} X_{r\alpha 1}^{-1};$$

$\omega_c = 314$ рад/с – угловая скорость магнитного поля;

p – число пар полюсов;

$\omega_{p1} = \omega_2$ – угловая скорость ротора первого двигателя ($\omega_{p2} = \omega_3$);

$U_m = \sqrt{2/3} U_{nom}$ - амплитуда напряжения в фазе.

Дифференциальные уравнения второго двигателя аналогичны (5)-(8) с учетом замены индекса 1 на 2.

Запишем дифференциальные уравнения движения всех сосредоточенных масс:

$$\left\{ \begin{array}{l} \dot{\omega}_1 = I_1^{-1} (M_{12} - M_{c1}); \\ \dot{\omega}_2 = I_2^{-1} (Md_1 - M_{24} - M_{12}); \\ \dot{\omega}_3 = I_3^{-1} (Md_2 - M_{34} - M_{c3}); \\ \dot{\omega}_4 = I_4^{-1} (M_{34} + M_{24} - M_{45}); \\ \dot{\omega}_5 = I_5^{-1} (M_{45} - M_{c2}); \end{array} \right. \quad (9)$$

Совместное решение системы уравнений (1)-(9) позволяет определять механические и электромагнитные нагрузки в данной электромеханической системе. При этом векторе начальных условий общей ММ' необходимо учитывать наличие «открытых» случайных по величине зазоров на участках трансмиссии.

С использованием разработанной ММ были исследованы динамические режимы ППО комбайна 1ГШ68 с двигателями ЭКВ4УУ5 (110 КВт). Решение уравнений производилось методом Рунге-Кутта с применением ПЭВМ. Некоторые результаты моделирования приведены на рис.3,4 .

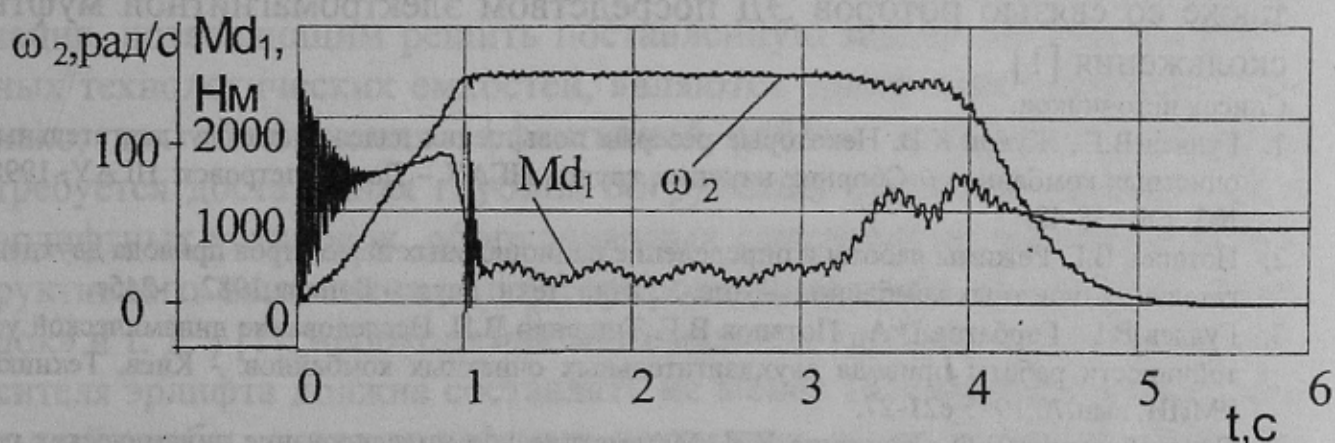


Рис. 3 Электромагнитный момент и угловая скорость ротора первого ЭД

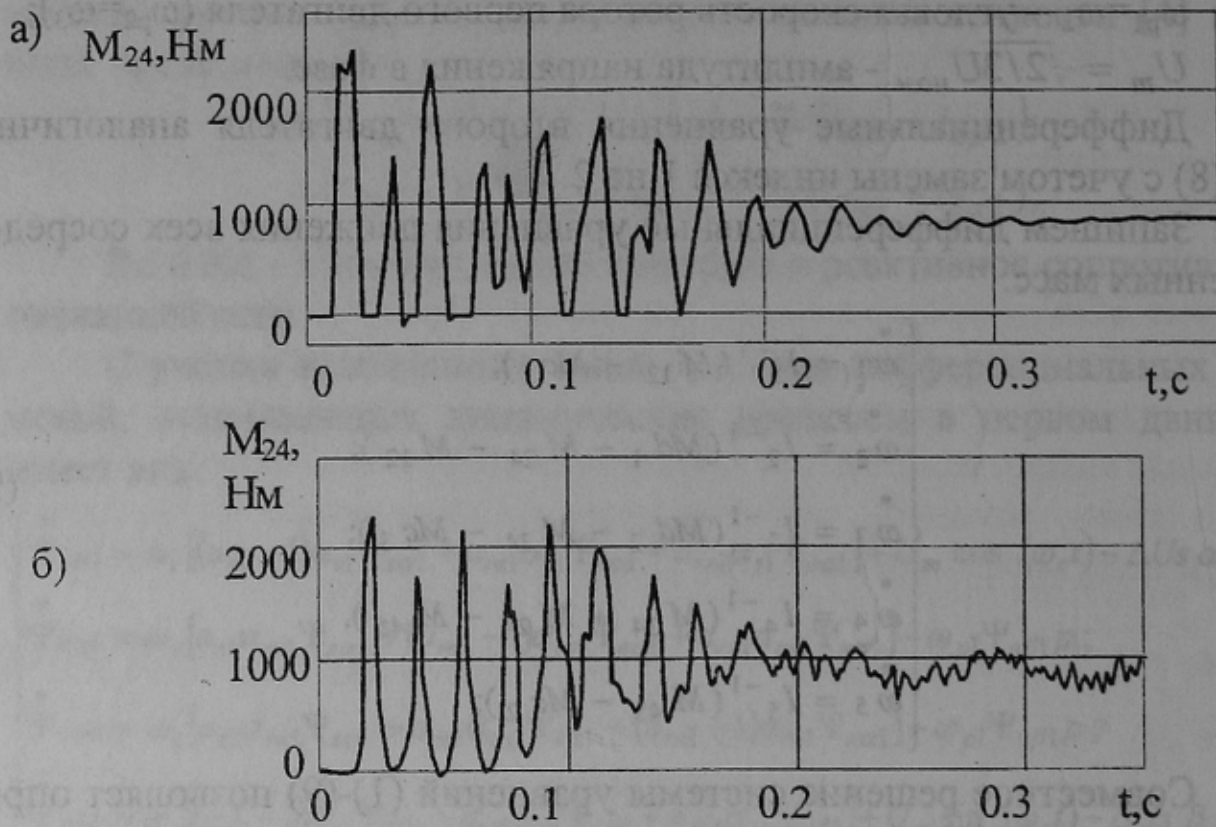


Рис. 4 Пуск без нагрузки: а – результат моделирования; б – осцилограмма натурного эксперимента

Полученные результаты подтверждают адекватность разработанной ММ реальному объекту на качественном уровне, однако, необходима дальнейшая ее калибровка. С использованием разработанной модели ППО планируется создание ММ замкнутой системы «очистной комбайн – забой» с рассмотренной структурой ППО, а также со связью роторов ЭД посредством электромагнитной муфты скольжения [1].

Список источников.

- Гуляев В.Г., Жуков К.В. Некоторые резервы повышения надежности двухдвигательных очистных комбайнов // Сборник научных трудов НГАУ – Днепропетровск: НГАУ, 1998, №3, т.6, с38-42.
- Потапов В.Г. Режимы работы и определение рациональных параметров привода двухдвигательных очистных комбайнов. – Дис. ... канд. техн. наук. – Донецк, 1982, -245с.
- Гуляев В.Г., Горбатов П.А., Потапов В.Г., Тищенко В.П. Исследование динамической устойчивости работы привода двухдвигательных очистных комбайнов. - Киев, Техника, РМПИ, вып.70, 1985, с21-27.
- Сивокобыленко В.Ф., Костенко В.И. Математическое моделирование динамических режимов двухдвигательного асинхронного электропривода // Известия ВУЗов, Энергетика, 1974, №1, с43-48.
- Сивокобыленко В.Ф., Павлюков В.А. Параметры и схемы замещения асинхронных электродвигателей с вытеснением тока в роторе // Электрические станции, 1976, №2, с51-54.